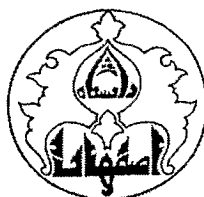


بِسْمِ اللّٰهِ الرَّحْمٰنِ الرَّحِيْمِ

۹۷۸۱۰



دانشگاه اصفهان  
دانشکده فنی و مهندسی  
گروه مهندسی برق

## پایان نامه کارشناسی ارشد رشته مهندسی برق گرایش قدرت

مدل سازی کوره قوس الکتریکی و جبران فلیکر ولتاژ ناشی از آن با  
استفاده از جبران ساز استاتیکی توان راکتیو

استادان راهنما:  
دکتر آرش کیمودی  
دکتر محمد عطایی

استاد مشاور:  
دکتر رحمت الله هوشمند

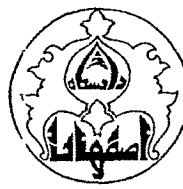
پژوهشگر:  
آرش دهستانی کلاگر

۱۳۸۷ / ۱۶ / ۱۰

بهمن ماه ۱۳۸۶

۹۷۲۸۰

کلیه حقوق مادی مترتب بر نتایج مطالعات، ابتكارات  
و نوآوری های ناشی از تحقیق موضوع این پایان نامه  
متعلق به دانشگاه اصفهان است.



دانشگاه  
اُصفهان  
دانشکده فنی و مهندسی  
گروه مهندسی برق

دانشگاه اصفهان

دانشکده فنی و مهندسی

گروه مهندسی برق

## پایان نامه‌ی کارشناسی ارشد

### تحت عنوان

**مدل سازی کوره قوس الکتریکی و جبران فلیکر و لتأثر ناشی از آن با استفاده از جبران ساز استاتیکی توان راکتیو**

به تصویب نهایی رسید.

توسط هیات داوران زیر بررسی و با درجه

در تاریخ

۱- استاد راهنمای اول پایان نامه دکتر آرش کیومرثی با مرتبه علمی استادیار

۲- استاد راهنمای دوم پایان نامه دکتر محمد عطائی با مرتبه علمی استادیار

۳- استاد مشاور پایان نامه دکتر رحمت الله هوشمند با مرتبه علمی دانشیار

۴- استاد داور داخل گروه دکتر سید محسن موسوی با مرتبه علمی دانشیار

۵- استاد داور خارج گروه دکتر عباس شولاوی با مرتبه علمی استادی

امضای مدیر گروه

## مشکر و قدردانی

بدین سیله از زحمات استاد راهنمای محترم این پایان نامه بخاطر آقای دکتر آرش کیمری گردانامه مرا امداد لطف و محبت

خواش قرار دادند مشکر و پاکسازی نمایم. از جناب آقای دکتر محمد عطانی استاد راهنمای دوم و جناب آقای دکتر رحمت الله ہوشمند استاد

مشاور این جانب که در تمامی مراحل انجام این پایان نامه مریاری نمودن بخوبیت سپاس و قدردانی را دارم. همچنین از جناب آقای دکتر محسن

موسوی و جناب آقای دکتر عباس شوالی که در زحمت مطالعه، تصحیح و ارزیابی نهایی این پایان نامه را انجام دادند نیز مشکر و قدردانی می نمایم.

در خاتمه بر خود واجب می دانم که از استادی محترم کروه هندسی برق دانشگاه اصفهان که در طول دوره کارشناسی ارشد مریاری نموده و یا یکم ای

به من آموختند مشکر و پاکسازی نمایم.

تقدیم به:

پدر، مادر عزیزم

که شناخت نگاهشان، لطفت تسمیشان و زلالی دشان گل امید را در  
محظه سخنی زندگی ام سکو فاما کند.

**چکیده:**

مدل سازی کوره های قوس الکتریکی سه فاز و جبران فلیکر ولتاژ ناشی از آن با استفاده از نرم افزارهای PSCAD/MATLAB، هدف این تحقیق می باشد.

جهت مدلسازی کوره قوس الکتریکی، ابتدا قوس الکتریکی را با نمونه های گرفته شده از جریان قوس و ولتاژ متناظر با آن، در مدار معادل کوره قوس مدل شده است. سپس سعی شده تا خصوصیت تصادفی بودن عملکرد قوس در قالب مدوله کردن ولتاژ قوس با یک نویز سفید با باند محدود شده، لحاظ شود.

جبران سازی کوره قوس الکتریکی با استفاده از جبران کننده های استاتیک توان راکتیو از نوع راکتور تریستور کنترل به همراه خازن ثابت که بر اساس اندازه گیری توان راکتیو بار کنترل می شوند، به دو روش کنترل حلقه باز و کنترل حلقه بسته انجام شده و شدت فلیکر ولتاژ قبل و بعد از عمل جبران سازی بر اساس تغیر اندازه گیری فلیکر در استاندارد IEC، اندازه گیری شده و نتایج عمل جبران سازی بر روی کاهش شدت فلیکر موجود نشان داده شده است.

یک روش جدید برای کنترل جبران ساز راکتور تریستور کنترل به همراه خازن ثابت نیز پیشنهاد شده است. این روش مبتنی بر بکار گیری یک روش پیش بین در کنترل مدار بسته جبران ساز TCR/FC در عمل جبران سازی می باشد. در این روش از نمونه های قبلی توان راکتیو بار جهت پیش بینی مقادیر آتی آن به منظور جبران زمان تاخیر موجود در کنترل جبران ساز استفاده می شود.

**کلید واژه:** کوره قوس الکتریکی، کاهش فلیکر ولتاژ، شدت فلیکر لحظه ای، کنترل جبران ساز TCR/FC، فیلترهای هارمونیکی، توان راکتیو پایه، مشخصه امپدانسی، طیف فرکانسی، کنترل پیش بین، بلوک تقدم

## فهرست مطالب

عنوان	صفحه
فصل اول: کوره های قوس الکتریکی	۱
۱-۱- مقدمه	۱
۲-۱- روند ارائه مطالب	۲
۳-۱- تاریخچه	۲
۴-۱- دسته‌بندی‌های کلی EAF	۳
۵-۱- اصول عملکرد کوره های قوس AC	۶
۵-۱-۱- پایداری قوس - یک نقطه کار بهینه برای عملکرد موثر کوره قوس	۶
۵-۲-۱- اندازه گیری‌های الکتریکی بر روی کوره های قوس AC	۱۰
۵-۳-۱- مبانی فلیکرمتر IEC	۱۸
۵-۴-۱- مقدمه	۳۵
۵-۴-۲- درون‌بایی خطی	۳۸
۵-۴-۳- درون‌بایی غیرخطی	۳۹
۵-۴-۴- توصیف بلوک‌های فلیکرمتر	۴۲

۴۴ .....	۳-۳-۳- مشخصات فنی مورد نیاز هر بلوک
۴۴ .....	۳-۳-۱- تطبیق دهنده ولتاژ
۴۵ .....	۳-۳-۲- مولد داخلی برای بازبینی کالیبراسیون دستگاه
۴۵ .....	۳-۳-۳- دمدولاتور مربع ساز
۴۵ .....	۳-۳-۴- فیلترهای وزن دهنده
۴۶ .....	۳-۳-۵- پاسخ کلی از ورودی تا خروجی بلوک ۳
۴۶ .....	۳-۳-۶- سلکتور
۴۶ .....	۳-۳-۷- ضرب کننده مربعی و فیلتر متوسط لغزان
۴۷ .....	۳-۳-۸- الگوریتم تحلیل آماری بلاذرنگ
۴۷ .....	۳-۴- به کار گیری فلیکر متر IEC در این تحقیق، برای کوره تکفاز
۴۸ .....	۳-۴-۱- پیاده سازی فلیکرمتروسط نرم افزار PSCAD
۶۰ .....	۳-۵- به کار گیری فلیکر متر برای کوره سه فاز، قبل از جبران سازی
۶۲ .....	۳-۶- مشخصه حساسیت فلیکر ولتاژ
۶۷ .....	فصل چهارم: کنترل مدار باز جبران ساز راکتور کنترل شده با تریستور
۶۷ .....	۴-۱- مقدمه
۶۷ .....	۴-۲- راکتورهای کنترل شونده با تریستور(TCR)

۷۰	۳-۴- سیستم اندازه گیری توان راکتیو سه فاز در کوره قوس الکتریکی
۷۴	۴-۴- اصول جبران سازی کوره قوس الکتریکی
۷۵	۴-۵- طراحی فیلتر های هارمونیکی
۷۶	۴-۵-۱- ملاحظات لازم در طراحی فیلتر های پسیو
۸۸	۴-۶- به کار گیری جبران ساز راکتور تریستور کنترل(TCR) و کنترل حلقه باز آن
۱۰۴	فصل پنجم: کنترل مدار بسته جبران ساز راکتور کنترل شده با تریستور
۱۰۴	۱-۵- مقدمه
۱۰۴	۲-۵- روش کنترل مدار بسته جبرانگر FC/TCR، با رگولاتور ولتاژ
۱۱۴	۳-۵- به کار گیری فلیکرمتر IEC، بعد از جبران به روش حلقه بسته
۱۱۷	۴-۵- روش کنترل مدار بسته جبرانگر FC/TCR، با رهیافت بهبود ضریب توان
۱۱۸	۴-۵-۱- ضریب توان در محیط های هارمونیکی
۱۱۹	۴-۵-۲- سیستم محاسبه ضریب توان در کوره قوس الکتریکی
۱۲۵	۴-۵-۳- کنترل حلقه بسته جبران ساز با رهیافت بهبود ضریب توان
۱۳۴	فصل ششم: به کار گیری یک روش پیش بین در کنترل مدار بسته جبران ساز TCR/FC
۱۳۴	۱-۶- مقدمه
۱۳۴	۲-۶- بهبود کارایی جبران ساز استانیکی با تخمین توان راکتیو بار در زمان های آتی
۱۳۵	۳-۶- تقریب بهینه

۱۳۸	۶-۴- ایجاد بلوک تقدم
۱۴۵	۶-۵- تحلیل عملکرد فیلترهای حذف هارمونیک
۱۴۸	۶-۶- به کارگیری فلیکرمتر IEC، بعد از اعمال روش پیش بین در جبران به روش حلقه بسته
۱۵۳	<b>فصل هفتم</b>
۱۵۳	۷-۱- نتیجه گیری
۱۵۳	۷-۲- پیشنهاداتی برای ادامه کار
۱۵۴	پیوست الف:
۱۶۸	پیوست ب:
۱۸۲	پیوست ج:
۱۹۶	پیوست د:
۲۱۰	پیوست ه:
۲۱۲	پیوست و:
۲۲۰	پیوست ز:
۲۲۲	منابع و مأخذ

## فهرست شکل ها

صفحه	عنوان
۵	شکل (۱-۱): نمای کلی یک کوره DC
۶	شکل (۱-۲): شمای کلی کوره قوس الکتریکی سه فاز
۷	شکل (۱-۳): رابطه بین سطح سرباره ها و شدت تشعشع
۸	شکل (۱-۴): توان قوس ( $P_{arc}$ ) و مقاومت قوس ( $R_{arc}$ ) بر حسب زمان برای کوره های قوس AC
۹	شکل (۱-۵): ولتاژ قوس ( $U_{arc}$ ) و جریان الکترود ( $J$ ) بر حسب زمان برای کوره های قوس AC
۱۰	شکل (۱-۶): اساس عملکرد قوس
۱۱	شکل (۱-۷): اساس قوس پایدار در عملکرد کوره های قوس AC
۱۲	شکل (۱-۸): حد پایداری قوس در عملکرد کوره های قوس AC
۱۳	شکل (۱-۹): اساس نصب تجهیزات اندازه گیری بر روی کوره های قوس
۱۴	شکل (۱-۱۰): دیاگرام برداری مورد نیاز در محاسبه پارامترهای کوره
۱۵	شکل (۱-۱۱): ولتاژ U و جریان الکترود J و توان اکتیو P بر حسب زمان برای کوره های قوس AC
۱۶	شکل (۱-۱۲): راکتانس عملیاتی ( $X_{op}$ ) بر حسب امپدانس Z
۱۷	شکل (۱-۱۳): دیاگرام دایره ای برای $tap=679$
۱۸	شکل (۱-۱۴): توان اکتیو بر حسب جریان الکترود

- ٤
- ١٥ ..... شکل (١٥-١): ضریب توان بر حسب جریان الکترود.
- ١٥ ..... شکل (١٦-١): توان قوس بر حسب جریان الکترود.
- ١٦ ..... شکل (١٧-١): ولتاژ قوس بر حسب جریان الکترود.
- ١٦ ..... شکل (١٨-١): راکتانس عملیاتی ( $X_{op}$ ) بر حسب جریان الکترود.
- ١٧ ..... شکل (١٩-١): شاخص نسوز بر حسب جریان الکترود.
- ٢٠ ..... شکل (٢-١): مکانیزم تولید نویز سفید با باند محدود شده.
- ٢٠ ..... شکل (٢-٢): مدل مربوط به کوره تکفارز بدون اعمال نویز.
- ٢١ ..... شکل (٣-٢): شکل موج جریان قوس.
- ٢١ ..... شکل (٤-٢): شکل موج ولتاژ قوس.
- ٢١ ..... شکل (٥-٢): مشخصه ولتاژ قوس بر حسب جریان قوس.
- ٢٢ ..... شکل (٦-٢): مدل مربوط به کوره تکفارز با اعمال نویز.
- ٢٢ ..... شکل (٧-٢): شکل موج جریان قوس با حضور نویز.
- ٢٢ ..... شکل (٨-٢): شکل موج ولتاژ قوس با حضور نویز.
- ٢٣ ..... شکل (٩-٢): مشخصه ولتاژ قوس بر حسب جریان قوس با حضور نویز.
- ٢٣ ..... شکل (١٠-٢): تغییرات زمانی نویز سفید با باند محدود شده.

۲۴.....	شکل(۱۱-۲): مدل مربوط به کوره سه فاز بدون اعمال نویز.....
۲۵ .....	شکل(۱۲-۲): شکل موج جریان فازها.....
۲۵.....	شکل(۱۳-۲): شکل موج ولتاژ دو سر قوس.....
۲۶.....	شکل(۱۴-۲): شکل موج ولتاژ نقاط اتصال مشترک نسبت به نقطه شناور.....
۲۶ .....	شکل(۱۵-۲): مشخصه ولتاژ دو سر قوس فاز a نسبت به جریان این فاز.....
۲۷.....	شکل(۱۶-۲): مدل مربوط به کوره سه فاز با اعمال نویز.....
۲۷ .....	شکل(۱۷-۲): شکل موج جریان فازها با حضور نویز.....
۲۸.....	شکل(۱۸-۲): شکل موج ولتاژ دو سر قوس با حضور نویز.....
۲۸.....	شکل(۱۹-۲): شکل موج ولتاژ نقاط اتصال مشترک نسبت به نقطه شناور با حضور نویز.....
۲۹.....	شکل(۲۰-۲): مشخصه ولتاژ دو سر قوس فاز a نسبت به جریان این فاز با حضور نویز.....
۳۹ .....	شکل(۱-۳): درون یابی خطی.....
۴۰ .....	شکل(۲-۳): درون یابی غیر خطی.....
۴۲.....	شکل(۳-۳): ساختار فلیکرمتر IEC .....
۴۸.....	شکل(۴-۳): ساختار ۴ بلوک اول فلیکرمتر IEC .....
۴۸.....	شکل(۵-۳): شکل موج منحنی IFL به دست آمده .....
۴۸.....	شکل(۳-۶): سیستم نمونه برداری از منحنی IFL و ارجاع آن به بلوک تحلیل آماری.....

۴۹ ..... شکل(۷-۳): شکل موج منحنی IFL نمونه برداری شده.

۵۰ ..... شکل(۸-۳): قسمت ۱ بلوک STATISTICAL-EVA

۵۵ ..... شکل(۹-۳): قسمت ۲ بلوک STATISTICAL-EVAL

۵۶ ..... شکل(۱۰-۳): قسمت ۳ بلوک STATISTICAL-EVAL

۵۷ ..... شکل(۱۱-۳): منحنی تابع احتمال تجمعی مربوط به ثانیه ۱

۵۹ ..... شکل(۱۲-۳): منحنی شدت فلیکر لحظه‌ای مربوط به حالت تکفاز

۶۰ ..... شکل(۱۳-۳): شکل موج منحنی IFL نمونه برداری شده در طی ثانیه ۱

۶۰ ..... شکل(۱۴-۳): منحنی تابع احتمال تجمعی مربوط به ثانیه ۱

۶۱ ..... شکل(۱۵-۳): منحنی شدت فلیکر لحظه‌ای مربوط به حالت سه فاز، قبل از جبران

۶۳ ..... شکل(۱۶-۳): مشخصه حساسیت فلیکر ولتاژ

۶۴ ..... شکل(۱۷-۳): مشخصه حساسیت فلیکر ولتاژ

۶۵ ..... شکل(۱۸-۳): مقایسه منحنی‌های فلیکر ولتاژ ناشی از منابع مختلف

۶۸ ..... شکل(۱-۴): شمای کلی یک TCR

۶۸ ..... شکل(۴-۲): چگونگی تغییرات جریان و ولتاژهای TCR برای زوایای مختلف آتش  $\alpha$

- شکل(۴-۳): جبران ساز خازن ثابت- TCR (الف) ۶ پالسه- (ب) ۱۲ پالسه..... ۶۹
- شکل(۴-۴): مدار معادل کوره قوس الکتریکی سه فاز..... ۷۱
- شکل(۴-۵): سیستم تولید نویز سفید با باند محدود شده..... ۷۱
- شکل(۴-۶): مولفه های اصلی ولتاژ و جریان قوس..... ۷۲
- شکل(۴-۷): سیستم اندازه گیری توان راکتیو سه فاز در کوره قوس الکتریکی..... ۷۳
- شکل(۴-۸): نتایج اندازه گیری توان راکتیو سه فاز پایه در کوره قوس الکتریکی..... ۷۴
- شکل(۴-۹): مشخصه فرکانسی امپدانس فیلترها..... ۷۸
- شکل(۴-۱۰): یک نمونه از مشخصه فرکانسی امپدانس فیلترها همراه با خط بار سیستم..... ۷۸
- شکل(۴-۱۱): مشخصه فرکانسی امپدانس فیلترها با خط بار سیستم بدون وجود فیلتر هارمونیک سوم..... ۷۹
- شکل(۴-۱۲): فیلترهای هارمونیکی طراحی شده..... ۸۱
- شکل(۴-۱۳): مشخصه امپدانسی فیلترهای هارمونیکی طراحی شده..... ۸۲
- شکل(۴-۱۴): مدار معادل کوره قوس الکتریکی سه فاز با حضور خازن فیلترها..... ۸۲
- شکل(۴-۱۵): توان راکتیو اندازه گیری شده در نقطه کوپلaz مشترک، بعد از به کار گیری فیلترها..... ۸۳
- شکل(۴-۱۶): شکل موج جریان های قوس الکتریکی با حضور فیلترها..... ۸۴
- شکل(۴-۱۷): شکل موج جریان ها در نقطه کوپلaz مشترک با حضور فیلترها..... ۸۴
- شکل(۴-۱۸): شکل موج ولتاژهای دو سر قوس الکتریکی با حضور فیلترها..... ۸۵

..... ۸۵	شکل(۱۹-۴): شکل موج ولتاژهای نقطه کوپلاز مشترک نسبت به زمین، با حضور فیلتر ها
..... ۸۶	شکل(۲۰-۴): شکل موج ولتاژهای خطی در نقطه کوپلاز مشترک، با حضور فیلتر ها
..... ۸۶	شکل(۲۱-۴): شکل موج جریان فیلترها
..... ۸۷	شکل(۲۲-۴): مشخصه ولتاژ قوس بر حسب جریان قوس با حضور خازن فیلترها
..... ۸۸	شکل(۲۳-۴): مدار شامل جبران ساز FC/TCR
..... ۹۰	شکل(۲۴-۴): سیستم محاسبه سوسپتانس مطلوب بازوهای TCR
..... ۹۰	شکل(۲۵-۴-الف): سوسپتانس مطلوب بازوی ab جبران ساز TCR
..... ۹۱	شکل(۲۵-۴-ب): ولتاژ و جریان بازوی ab جبران ساز TCR
..... ۹۱	شکل(۲۶-۴-الف): سوسپتانس مطلوب بازوی bc جبران ساز TCR
..... ۹۱	شکل(۲۶-۴-ب): ولتاژ و جریان بازوی bc جبران ساز TCR
..... ۹۲	شکل(۲۷-۴-الف): سوسپتانس مطلوب بازوی ca جبران ساز TCR
..... ۹۲	شکل(۲۷-۴-ب): ولتاژ و جریان بازوی ca جبران ساز TCR
..... ۹۲	شکل(۲۸-۴): بلوک تبدیل سوسپتانس به زاویه آتش
..... ۹۶	شکل(۲۹-۴): زوایای آتش مربوط به بازوهای TCR
..... ۹۷	شکل(۳۰-۴): توان راکتیو اندازه گیری شده در نقطه کوپلاز مشترک، بعد از به کار گیری جبران ساز FC/TCR

شکل(۳۱-۴): شکل موج جریان های قوس الکتریکی بعد از به کار گیری جبران ساز FC/TCR ۹۸.....

شکل(۳۲-۴): شکل موج جریان ها در نقطه کوپلاز مشترک بعد از به کار گیری جبران ساز FC/TCR ۹۸.....

شکل(۳۳-۴): شکل موج ولتاژهای دو سر قوس الکتریکی بعد از به کار گیری جبران ساز FC/TCR ۹۸.....

شکل(۳۴-۴): شکل موج ولتاژهای نقطه کوپلاز مشترک نسبت به زمین، بعد از به کار گیری جبران ساز

۹۹.....FC/TCR

شکل(۳۵-۴): شکل موج ولتاژهای خطی در نقطه کوپلاز مشترک، بعد از به کار گیری جبران ساز FC/TCR ۱۰۰.....

شکل(۳۶-۴): شکل موج جریان فیلترها بعد از به کار گیری جبران ساز FC/TCR ۱۰۰.....

شکل(۳۷-۴): مشخصه ولتاژ قوس بر حسب جریان قوس بعد از به کار گیری جبران ساز FC/TCR ۱۰۱.....

شکل(۳۸-۴): ارتباط بین شکل های آورده شده ۱۰۱.....

شکل(۱-۵): بلوك دياگرام سيسitem کنترلي حلقه بسته جبرانگر با رگولاتور ولتاژ ۱۰۵.....

شکل(۲-۵): مدارکوره قوس الکتریکی ۱۰۵.....

شکل(۳-۵): سيسitem محاسبه ولتاژهای مستقیم ۱۰۶.....

شکل(۴-۵): سيسitem محاسبه تغييرات زاويه آتش ۱۰۷.....

شکل(۵-۵): تغييرات سوسپتانس به دست آمده در روش حلقه بسته ۱۰۸.....

شکل(۵-۶): ارتباط ميان شکل های آورده شده در روش کنترل حلقه بسته ۱۰۹.....

- 109 ..... شکل(7-۵): زاویه آتش های نهایی تریستورهای TCR
- 110 ..... شکل(8-۵): شکل موج جریان های قوس الکتریکی
- 110 ..... شکل(9-۵): شکل موج جریان ها در نقطه کوپلاز مشترک
- 111 ..... شکل(10-۵): شکل موج ولتاژهای دو سر قوس الکتریکی
- 111 ..... شکل(11-۵): شکل موج ولتاژهای نقطه کوپلاز مشترک نسبت به زمین
- 112 ..... شکل(12-۵): شکل موج ولتاژهای خطی در نقطه کوپلاز مشترک
- 113 ..... شکل(13-۵): شکل موج جریان فیلترها
- 114 ..... شکل(14-۵): شکل موج توان راکتیو در نقطه کوپلاز مشترک
- 115 ..... شکل(15-۵): شکل موج منحنی IFL نمونه برداری شده در طی ثانیه ۱
- 115 ..... شکل(16-۵): منحنی تابع احتمال تجمعی مربوط به ثانیه ۱
- 116 ..... شکل(17-۵): منحنی شدت فلیکر لحظه ای بعد از جبران به روش حلقه بسته
- 116 ..... شکل(18-۵): منحنی شدت فلیکر لحظه ای، قبل از جبران
- 117 ..... شکل(19-۵): مقایسه منحنی شدت فلیکر لحظه ای قبل از جبران و بعد از جبران به روش حلقه بسته
- 119 ..... شکل(20-۵): مدار کوره قوس الکتریکی به همراه جبران سازها
- 120 ..... شکل(21-۵): فیلتر نمودن سیگنال ها
- 121 ..... شکل(22-۵): پیاده سازی مجموعه روابط (7-۵)

- ۹
- ۱۲۱ ..... شکل(۵-۲۳): بلوک حاوی مدار شکل (۴۵-۵)
- ۱۲۱ ..... شکل(۵-۲۴): سیستم محاسبه توان اکتیو توالی مثبت
- ۱۲۲ ..... شکل(۵-۲۵): سیستم محاسبه  $S_e$
- ۱۲۳ ..... شکل(۵-۲۶): شکل موج به دست آمده از  $V_e$
- ۱۲۴ ..... شکل(۵-۲۷): شکل موج به دست آمده از  $I_e$
- ۱۲۴ ..... شکل(۵-۲۸): شکل موج به دست آمده از  $S_e$
- ۱۲۴ ..... شکل(۵-۲۹): شکل موج به دست آمده از ولتاژ توالی مثبت  $V_1^+$
- ۱۲۴ ..... شکل(۵-۳۰): شکل موج به دست آمده از جریان توالی مثبت  $I_1^+$
- ۱۲۵ ..... شکل(۵-۳۱): شکل موج به دست آمده توان اکتیو توالی مثبت  $P_1^+$
- ۱۲۵ ..... شکل(۵-۳۲): شکل موج به دست آمده از ضریب توان
- ۱۲۶ ..... شکل(۵-۳۳): شکل موج جریان لحظه‌ای TCR
- ۱۲۷ ..... شکل(۵-۳۴): سیستم محاسبه  $\Delta\alpha$  برای فاز ab جبرانساز TCR
- ۱۲۸ ..... شکل(۵-۳۵): سیستم محاسبه  $\Delta\alpha$  برای فاز bc جبرانساز TCR
- ۱۲۹ ..... شکل(۵-۳۶): سیستم محاسبه  $\Delta\alpha$  برای فاز ca جبرانساز TCR
- ۱۲۹ ..... شکل(۵-۳۷): ارتباط بین شکل‌های مختلف آورده شده در روش کنترل حلقه بسته با رهیافت بهبود ضریب توان